

### III-263 浅いトンネルの地表面沈下推定の一手法について

(株) 熊谷組技術研究所 正会員 大塚 本夫  
 同 同 上野 正商  
 同 同 郡 常雄

#### 1.はじめに

近年、都市またはその周辺部において地下工事が増加してきて、地表構造物の周係上地表面沈下に関する種々の問題が惹起してきている。本報文はこうした背景のもとに、土被りの浅いトンネル掘削による地山の沈下量を推定する一手法を提示するものである。

#### 2.問題の設定

本題の解法上地山は弾性体と見なし等方等質と考える。モデルは単体のトンネルの影響のみを考慮する。トンネルの境界条件としては、トンネル壁面とトンネル径との影響を考慮したものとする。

#### 3.地山の初期応力状態

地表面より $Z_0$ なる深さにある円形トンネルの中心軸とのとすると、中心軸より距離 $Z$ にあるトンネル周辺応力、 $\sigma_r$ 、 $\sigma_\theta$ 、 $\sigma_{rz}$ は次のようにある。

$$\sigma_r = \frac{1+\lambda}{2} \gamma Z_0 + \frac{3+\lambda}{4} \gamma r \cos \theta + \frac{1-\lambda}{2} \gamma Z_0 \cos 2\theta + \frac{1-\lambda}{4} \gamma r \cos 3\theta \quad (1)$$

$$\sigma_\theta = \frac{1+\lambda}{2} \gamma Z_0 + \frac{1+3\lambda}{4} \gamma r \cos \theta - \frac{1-\lambda}{2} \gamma Z_0 \cos 2\theta - \frac{1-\lambda}{4} \gamma r \cos 3\theta \quad (2)$$

$$\sigma_{rz} = -\frac{1-\lambda}{4} \gamma r \sin \theta - \frac{1-\lambda}{2} \gamma Z_0 \sin 2\theta - \frac{1-\lambda}{4} \gamma r \sin 3\theta \quad (3)$$

但し、 $\lambda$ =側圧係数、 $\gamma$ =地山の単位体積重量、 $r$ =トンネル半径

$Z_0$ =地表面からトンネル中心軸までの距離、 $Z$ =中心軸から $Z_0$ の距離

#### 4.地山の2次応力状態

トンネルが掘削された影響を考慮した新らしい応力関数を考える。それはトンネル周辺では境界条件を満足し無限遠の条件で(1)~(3)となるよう補助関数を考える。(1)~(3)を考慮して次の関数が適当であると思われる。

$$\varphi'(Z) = \frac{A_1}{Z^2} + \frac{A_2}{Z^3} + \frac{A_3}{Z^4} \quad (4)$$

$$\psi''(Z) = \frac{B_2}{Z^2} + \frac{B_1}{Z^3} + \frac{B_2}{Z^4} + \frac{B_3}{Z^5} \quad (5)$$

(4)、(5)の補助関数を用いて、トンネル掘削の影響を考慮した新らしい応力関数を求めると

$$\sigma_r' = -\frac{B_2}{r^2} + \left(\frac{3A_1}{r} - \frac{B_3}{r^3}\right) \cos \theta + \left(\frac{2A_2}{r^2} - \frac{B_2}{r^4}\right) \cos 2\theta + \left(\frac{5A_3}{r^3} - \frac{B_3}{r^5}\right) \cos 3\theta \quad (6)$$

$$\sigma_\theta' = \frac{B_2}{r^2} + \left(\frac{A_1}{r} + \frac{B_3}{r^3}\right) \cos \theta + \frac{B_2}{r^4} \cos 2\theta + \left(\frac{B_3}{r^3} - \frac{A_3}{r^5}\right) \cos 3\theta \quad (7)$$

$$\sigma_{rz}' = \left(\frac{A_1}{r} - \frac{B_3}{r^3}\right) \sin \theta + \left(\frac{2A_2}{r^2} - \frac{B_2}{r^4}\right) \sin 2\theta + \left(\frac{3A_3}{r^3} - \frac{B_3}{r^5}\right) \sin 3\theta \quad (8)$$

実際のトンネル周辺応力は(1)+(6)、(2)+(7)、(3)+(8)を考え、トンネル壁面の境界条件 $\sigma_r = \sigma_{rz} = 0$ なることで、各係数の常数を求めるこにより得られる。実際のトンネル周辺応力は次のようなものになる。

$$\sigma_r = \frac{1+\lambda}{2} \gamma Z_0 - \frac{B_2}{r^2} + \left(\frac{3+\lambda}{4} \gamma r + \frac{3A_1}{r} - \frac{B_3}{r^3}\right) \cos \theta + \left(\frac{1-\lambda}{2} \gamma Z_0 + \frac{4A_2}{r^2} - \frac{B_2}{r^4}\right) \cos 2\theta + \left(\frac{1-\lambda}{4} \gamma r + \frac{5A_3}{r^3} - \frac{B_3}{r^5}\right) \cos 3\theta \quad (9)$$

$$\sigma_\theta = \frac{1+\lambda}{2} \gamma Z_0 + \frac{B_2}{r^2} + \left(\frac{1+3\lambda}{4} \gamma r + \frac{A_1}{r} + \frac{B_3}{r^3}\right) \cos \theta - \left(\frac{1-\lambda}{2} \gamma Z_0 - \frac{B_2}{r^4}\right) \cos 2\theta - \left(\frac{1-\lambda}{4} \gamma r - \frac{B_3}{r^5} + \frac{A_3}{r^3}\right) \cos 3\theta \quad (10)$$

$$\sigma_{rz} = -\left(\frac{1-\lambda}{4} \gamma r - \frac{A_1}{r} + \frac{B_3}{r^3}\right) \sin \theta - \left(\frac{1-\lambda}{2} \gamma Z_0 - \frac{2A_2}{r^2} + \frac{B_2}{r^4}\right) \sin 2\theta - \left(\frac{1-\lambda}{4} \gamma r - \frac{3A_3}{r^3} + \frac{B_3}{r^5}\right) \sin 3\theta \quad (11)$$

トンネル周辺の変位は、

$$U_r = -\frac{1+\nu}{E} \left[ (1-\nu) \left\{ \frac{B_0}{r} + (3A_1 \ln r + \frac{B_1}{2r^2}) \cos \theta - \left( \frac{4A_2}{r} - \frac{B_3}{3r^3} \right) \cos 2\theta - \left( \frac{5A_3}{2r^2} - \frac{B_2}{4r^4} \right) \cos 3\theta \right\} \right. \\ \left. - \nu \left\{ -\frac{B_0}{r} + (A_1 \ln r - \frac{B_1}{2r^2}) \cos \theta - \frac{B_2}{3r^3} \cos 2\theta - \left( \frac{B_3}{4r^4} - \frac{A_2}{2r^2} \right) \cos 3\theta \right\} \right] \quad (12)$$

$$U_\theta = -X - \frac{1+\nu}{E} \left[ (1-\nu) \left\{ \left( \frac{A_1}{r} + \frac{B_1}{r^3} \right) \sin \theta + \frac{B_2}{2r^2} \sin 2\theta - \frac{1}{3} \left( -\frac{B_0}{r^5} + \frac{A_3}{r^3} \right) \sin 3\theta \right\} \right. \\ \left. - \nu \left\{ \left( \frac{3A_1}{r} - \frac{B_1}{r^3} \right) \sin \theta + \frac{1}{2} \left( \frac{4A_2}{r^2} - \frac{B_2}{r^4} \right) \sin 2\theta + \frac{1}{3} \left( \frac{5A_3}{r^3} - \frac{B_3}{r^5} \right) \sin 3\theta \right\} \right] \quad (13)$$

$$\text{但し } X = \frac{1+\nu}{E} \left[ (1-\nu) \left\{ (3A_1 \ln r + \frac{B_1}{2r^2}) \sin \theta + \frac{1}{2} \left( \frac{B_2}{3r^3} - \frac{4A_2}{r} \right) \sin 2\theta + \frac{1}{3} \left( \frac{B_3}{4r^4} - \frac{5A_3}{2r^2} \right) \sin 3\theta \right\} \right. \\ \left. - \nu \left\{ (A_1 \ln r - \frac{B_1}{2r^2}) \sin \theta - \frac{B_2}{6r^3} \sin 2\theta - \frac{1}{3} \left( \frac{B_3}{4r^4} - \frac{A_2}{2r^2} \right) \sin 3\theta \right\} \right]$$

(9)～(13)式までの各係数は次のようなものとなる。

$$A_1 = -\frac{\nu R^2}{2}, \quad A_2 = -\frac{\alpha^2(1-\lambda)\nu z_0}{2}, \quad A_3 = -\frac{(1-\lambda)\nu^2 \alpha^4}{4} \\ B_0 = \frac{(1+\lambda)\nu z_0 \alpha^2}{2}, \quad B_1 = -\frac{\nu \alpha^4(3-\lambda)}{4}, \quad B_2 = -\frac{3(1-\lambda)\nu z_0 \alpha^4}{2}, \quad B_3 = -(1-\lambda)\nu^2 \alpha^6$$

## 5. モデル計算

次の条件で、トンネル周辺応力と変位を求める。

| 土被り(m) | トンネル半径(m) | 弾性係数(GPa/ポアソン比) | 単位体積重量(t/m <sup>3</sup> ) | 側圧係数 |
|--------|-----------|-----------------|---------------------------|------|
| 11.7   | 3.25      | 300             | 0.4                       | 1.4  |

Table-1 計算条件

計算結果を Fig.1～Fig.4 及び Table-2 に示す。

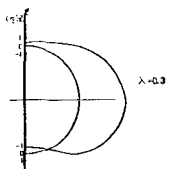


Fig.1 トンネル周辺応力  $U_r$

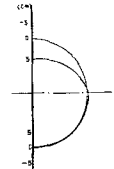


Fig.2 トンネル変形図  $U_r$

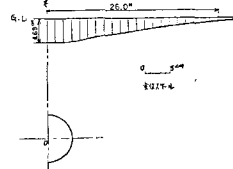


Fig.3 地表面沈下量

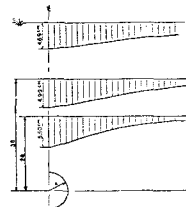


Fig.4 地山内の変位

また、有限要素法による沈量量の推定結果は Table-3 に示す。

## 6. 解の評価

地表面の最大沈下量は  $4.69 \text{ cm}$  で F.E.M の結果の約  $1/2$  であり、天端では F.E.M の結果の約  $1/5$  となっており、弾性論による結果がかなり小さい値を示している。また地表面沈下の影響範囲は、センターより約  $26 \text{ m}$  以上に及んで

いる。これは地山を完全弾性体とし、一つの連続体構造物と考えて解析したためや、地山の物性値を一つの力の平均値で代表できないためと思われる。しかし、有限要素法多くのコストを必要とするのに比べ、沈下量を簡単に短時間で推定する手法としては、弾性論による方法も意味のあるものと思われる。

参考文献 森口繁一 2次元弾性論 (岩波書店)

・C. T. Wan. 猪瀬寧雄訳 応用弾性学 (森北出版)

・宮下和夫 トンネル掘削における地表面下について (トンネルト地下 '73年7月)

・Fritz Hartmann: Elastizitätstheorie des ausgekleideten kreisförmigen Tunnelhohlraumes und des eingebrochenen kreisförmigen Röhres (STRASSE BRUCKE Tunnel 8/1970 ~ 9/1970)

|       |      |
|-------|------|
| 地表面   | 11.3 |
| 天端    | 31.1 |
| インバート | 2.01 |

Table-3 F.E.Mによる沈下量 単位 [cm]

|       |       |
|-------|-------|
| 地表面   | 4.69  |
| 天端    | 6.70  |
| インバート | 0.621 |

Table-2 沈下量 単位 [cm]